

๙๗

การสกัดสังกะสีออกจากแร่สังกะสีชัลไฟฟ์ โดยใช้เชื้อ Thiobacillus ferrooxidans
ชนิดผ่านและไม่ผ่านการไลอฟิล์ซ



น.ส. สุวิสา ประดิษฐ์

วิทยานิพนธ์นี้เป็นส่วนหนึ่งของการศึกษาตามหลักสูตรปริญญาวิกรรมศาสตรมหาบัณฑิต

ภาควิชาวิกรรมศาสตร์สิ่งแวดล้อม

บัณฑิตวิทยาลัย จุฬาลงกรณ์มหาวิทยาลัย

พ.ศ. 2538

ISBN 974-632-740-2

ลิขสิทธิ์ของบัณฑิตวิทยาลัย จุฬาลงกรณ์มหาวิทยาลัย

LEACHING EFFICIENCY OF ZINC FROM ZINC SULFIDE ORE BY NON
AND LYOPHILIZED Thiobacillus ferrooxidans

Miss Suwisa pradit

A Thesis Submitted in Partial Fulfillment of the Requirements

for the Degree of Master of Engineering

Department of Environmental Engineering

Graduate School

Chulalongkorn University

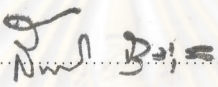
1995

ISBN 974-632-740-2

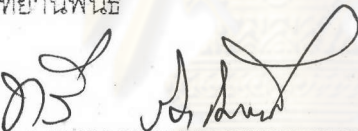
หัวข้อวิทยานิพนธ์ การสกัดสังกะสีออกจากแร่สังกะสีหัลไฟด์โดยใช้เชื้อ
Thiobacillus ferrooxidans ชนิดผ่านและไม่ผ่านกราฟิโลฟิล์ม
 โดย นางสาวสุวิสา ประดิษฐ์
 ภาควิชา วิศวกรรมสิ่งแวดล้อม
 อาจารย์ที่ปรึกษา ผู้ช่วยศาสตราจารย์ ดร. เพ็ชรพร เชาวกิจเจริญ



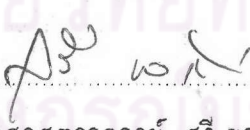
บันทึกวิทยาลัย จุฬาลงกรณ์มหาวิทยาลัย อนุมัติให้นับวิทยานิพนธ์ฉบับนี้เป็นส่วน
 หนึ่งของภารกิจตามหลักสูตรปริญญามหาบัณฑิต

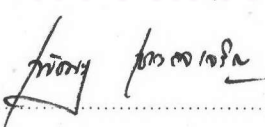

 คณบดีบันทึกวิทยาลัย
 (ศาสตราจารย์ ดร. สันติ รุ่งสุวรรณ)

คณะกรรมการสอบวิทยานิพนธ์


 ประธานกรรมการ
 (รองศาสตราจารย์ ทวี จิตมงคล)


 กรรมการ
 (รองศาสตราจารย์ คีรศ เกรอต)


 กรรมการ
 (รองศาสตราจารย์ สุรี ขาวเนียม)


 กรรมการและอาจารย์ที่ปรึกษา
 (ผู้ช่วยศาสตราจารย์ ดร. เพ็ชรพร เชาวกิจเจริญ)

พิมพ์ต้นฉบับที่ดัดแปลงอวิทยานิพนธ์ภายในกรอบสีเขียวนี้เพียงแผ่นเดียว

สุวิสา ประดิษฐ์ : การสกัดสังกะสีออกจากแร่สังกะสีชัลไฟฟ์ โดยใช้เชื้อ

Thiobacillus ferrooxidans ชนิดผ่านและไม่ผ่านการไลอฟิลล์

(LEACHING EFFICIENCY OF ZINC FROM ZINC SULFIDE ONE BY NON AND

LYOPHILIZED Thiobacillus ferrooxidans อ.ที่ปรึกษา :

ผู้ช่วยศาสตราจารย์ ดร.เพ็ชรพร แซว吉เจริญ, 120 หน้า.

ISBN 974-632-740-2



งานวิจัยนี้แบ่งออกเป็นสองส่วน โดยส่วนแรกศึกษาเกี่ยวกับความสามารถในการสกัดสังกะสีจากแร่สังกะสีชัลไฟฟ์ โดย Thiobacillus ferrooxidans ชนิดที่ผ่านและไม่ผ่านการไลอฟิลล์ แร่ธรรมชาติสังกะสีชัลไฟฟ์ได้มาจาก บริษัท พาเดนอินคัลทรี จำกัด (มหาชน) ซึ่งมีปริมาณสังกะสีชัลไฟฟ์อยู่ 56.73 เปอร์เซนต์ของแร่ ทำการทดลองแบบที่ลักษณะในถังปฏิกรณ์ขนาด 15 ลิตร โดยมีตัวแปรเป็นค่าไฟเขียวและปริมาณแร่ ผลการทดลองพบว่า ปริมาณสังกะสีถูกสกัดออกมากได้ เมื่อค่าไฟเขียวอยู่ในช่วง 1.5 – 2, ปริมาณแร่ที่เหมาะสมคือ 106 กรัมต่ำสารละลาย 15 ลิตร แบบที่เรียกว่าสามารถสกัดสังกะสีได้ 242 เปอร์เซนต์ของปริมาณสังกะสีในแร่ และพบว่า Thiobacillus ferrooxidans ชนิดที่ผ่านและไม่ผ่านการไลอฟิลล์ มีประสิทธิภาพในการสกัดสังกะสีที่ใกล้เคียงกันงานวิจัยอีกส่วนศึกษาเกี่ยวกับ medium, อุณหภูมิ และระยะเวลา ที่ใช้ในการเก็บรักษาเชื้อ Thiobacillus ferrooxidans ที่ผ่านการไลอฟิลล์ จากการทดลองพบว่า การไลอฟิลล์ สามารถเก็บรักษาเชื้อ Thiobacillus ferrooxidans ไว้ได้อย่างน้อย 16 เดือน ที่อุณหภูมิ 0 หรือ 4 องศาเซลเซียล โดยใช้ skim milk หรือ sucrose เป็น medium ในการไลอฟิลล์

ภาควิชา วิศวกรรมสิ่งแวดล้อม
สาขาวิชา วิศวกรรมสุขาภิบาล
ปีการศึกษา 2538

ลายมือชื่อนิสิต
ลายมือชื่ออาจารย์ที่ปรึกษา ที่ปรึกษา / พ.ศ.๒๕๖๐ ~
ลายมือชื่ออาจารย์ที่ปรึกษาร่วม

C517640 : MAJOR SANITARY ENGINEERING
KEY WORD: Thiobacillus ferrooxidans / LEACHING / LYOPHILIZATION / ZINC
SUWISA PRADIT : LEACHING EFFICIENCY OF ZINC FROM ZINC SULFIDE
ORE BY NON AND LYOPHILIZED Thiobacillus ferrooxidans
THESIS ADVISOR : ASSIST.PROF. PETCHPORN CHAWAKITCHAREON, Ph.D.
120 pp. ISBN 974-632-740-2

This research consist of 2 parts. The first part of this research is leaching efficiency study of zinc sulfide ore by using non and lyophilized Thiobacillus ferrooxidans. Natural Zinc sulfide ore was obtain from Padand Industry Public Company which contain Zinc 56.73% by weight. The experiment was carried out in 15 L capacity batch reactors at varying pH and ore quantity. It was found that the optimum pH is between 1.5 - 2, the optimum ore quanity is 10.6 g/ 15 L solution which corresponce to 24.2 % bacterial leaching efficiency from zinc sulfide ore. No significal different of leaching efficiency was found between non and lyophilized Thiobacillus ferrooxidans. The ither part of this research is the study of optimum temperature, medium and preservation time for lyophilized Thiobacillus ferrooxidans. It was found that lyophilized Thiobacillus ferrooxidans can be kept at 0° c or 4° c at least 16 months and can use skim milk or sucrose as lyophilized - medium.

ศูนย์วิทยทรัพยากร อุปสงค์และมหาวิทยาลัย

กิตติกรรมประกาศ



วิทยานิพนธ์ฉบับนี้ ได้สำเร็จลุล่วงไปได้ ด้วยความช่วยเหลืออย่างยิ่ง ของ
ผู้ช่วยศาสตราจารย์ ดร. เพ็ชรพร เขวากิจเจริญ อาจารย์ที่ปรึกษาวิทยานิพนธ์ ซึ่งท่านได้ให้
คำแนะนำและข้อคิดเห็นต่างๆ อันเป็นประโยชน์ต่อผู้วิจัยด้วยดีตลอดมา ทั้งเป็นผู้ตรวจสอบแก้ไข
ต้นฉบับ จนทำให้วิทยานิพนธ์ฉบับนี้ สำเร็จได้ด้วยดี ผู้วิจัยขอขอบพระคุณท่านเป็นอย่างสูง
มา ณ ที่นี่ด้วย

ผู้วิจัยขอขอบพระคุณ รองศาสตราจารย์ ทวี จิตไไมตรี รองศาสตราจารย์ ดร. ธีระ^๑
เกรอต อาจารย์ ดร. แสงสันต์ พานิช รองศาสตราจารย์ สุรี ชาบะรี และ รองศาสตราจารย์ ดร.
มั่นสิน ตันทูลเวศม์ ที่ท่านให้แนวทางและข้อแนะนำ สำหรับการทำวิจัยครั้งนี้

ผู้วิจัยขอขอบพระคุณ บริษัท พาແಡง อินเดสทรี จำกัด (มหาชน) เป็นอย่างสูง
ที่ได้ให้ความอนุเคราะห์แร่สังกะสีชั้ลไฟลด์ เพื่อใช้ในการทำวิจัยตลอดการทำวิจัย

ผู้วิจัยขอขอบพระคุณ ผู้ช่วยศาสตราจารย์ สมชาย สันติวัฒนกุล คณะแพทยศาสตร์
มหาวิทยาลัยศรีนครินทรวิโรฒ ที่ท่านกรุณาทำการไลโอพิลีซ์แบคทีเรีย เพื่อใช้ในการทำวิจัยครั้งนี้
ตลอดการทำวิจัย

ผู้วิจัยขอขอบพระคุณ คุณ บริบูรณ์ พุทธรักษा คุณ บุญสั่ง ศิลปเจริญกุล
คุณ กิตติวุฒิ พนาสันติภาพ คุณ กฤษฎา มหาลันทะ คุณ นันทนา อิทธิพรโกวิท และ^๒
คุณ รักษพล ชูชาติ ที่ได้ให้ความอนุเคราะห์และช่วยเหลือเป็นอย่างดียิ่ง

เนื่องจาก ทุนการวิจัยครั้งนี้บางส่วนได้รับมาจาก ทุนอุดหนุนการวิจัย ของบัณฑิต
วิทยาลัย จึงขอขอบพระคุณแม่บทวิทยาลัยมา ณ ที่นี่ด้วย

และท้ายที่สุดผู้วิจัยขอกราบขอบพระคุณ บิดา-มารดา ผู้ให้สักดิและสนับสนุนทุน
การศึกษาเสมอมาจนถึงการศึกษา

ทุนรักษ์ไทยทุนฯ
บุคลิกกรณ์มหาวิทยาลัย

สารบัญเรื่อง



หน้า

๑
๒
๓
๔
๕
๖
๗

บทคัดย่อภาษาไทย	๑
บทคัดย่อภาษาอังกฤษ	๒
กิตติกรรมประกาศ	๓
สารบัญเรื่อง	๔
สารบัญตาราง	๕
สารบัญรูป	๖

บทที่

1. บทนำ	1
2. วัสดุประสงค์และขอบเขตของการวิจัย	3
วัสดุประสงค์	3
ขอบเขตของการวิจัย	3
3 ทฤษฎี	4
<u>Thiobacillus ferrooxidans</u>	4
จุลทรรศ์ที่เกี่ยวข้องกับกระบวนการการลิขซึ่ง	6
ก. <u>Thiobacillus ferrooxidans</u>	6
ข. <u>Thiobacillus thiooxidans</u>	6
ค. <u>Leptospirillum ferrooxidans</u> และ Mixed Culture of acidophiles	6
ก. <u>Thermophilic thiobacillus</u>	7
ช. <u>Extreme thermophilic</u>	7
กระบวนการการลิขซึ่งที่เกิดโดยจุลทรรศ์	7
ก. วิธีโดยตรง (Direct leaching)	7
ข. วิธีโดยอ้อม (Indirect leaching)	8
การไลอฟิลิซ (Lyophilization)	9
ปัจจัยพื้นฐานที่มีผลต่อการลิขซึ่ง (Leaching)	10
1. พีเอช	10
2. ORP	11
3. อุณหภูมิ	11

	หน้า
4. สารอาหาร	12
5. เฟอร์รัสไอโอนและชัลเฟอร์	12
6. พื้นที่ผิวสัมผัส	13
7. อากาศ	13
ผลการศึกษาที่ผ่านมา	14
1. การใช้ <u><i>Thiobacillus ferrooxidans</i></u> ลักษณะหนักอกจากกาตากอน	14
2. การใช้ Bacterial Leaching ใน การสกัดสังกะสีออกจากสังกะสีชีลิกเกต ..	14
3. การใช้ใบโอลิชชิ่ง ในการสกัดยูเรเนียม	14
4. การกำจัดชัลเฟอร์ออกจากถ่านหินโดยวิธีใบโอลิชชิ่ง	15
5. การใช้ใบโอลิชชิ่งกำจัดโลหะหนักจากสลัตซ์ชุมชน	15
4. แผนการดำเนินการวิจัย	17
แผนการวิจัย	17
เครื่องมือและอุปกรณ์	17
สังกะสีชัลไฟฟ์ที่ใช้ในการทดลอง	18
ขั้นตอนการวิจัย	20
1. การเพาะเชื้อแบคทีเรีย	20
2. การเตรียมเชื้อเพื่อนำไปทำการไลอฟิลล์	20
3. การไลอฟิลล์เชื้อ <u><i>Thiobacillus ferrooxidans</i></u>	20
4. การทดสอบเชื้อที่ผ่านการไลอฟิลล์	22
5. การปรับสภาพเชื้อให้มีความเคย์ชินกับน้ำเสียสังเคราะห์	22
6. การปฏิบัติการแบบที่ละเท	22
การเก็บตัวอย่างและการวิเคราะห์	24
5. ผลการทดลองและวิจารณ์	25
ผลการวิเคราะห์ปริมาณสังกะสีในแร่สังกะสีชัลไฟฟ์	25
ผลการเพาะเลี้ยง <u><i>Thiobacillus ferrooxidans</i></u> ที่ผ่านการไลอฟิลล์	25
1. ระยะเวลาที่เก็บเชื้อที่ผ่านการไลอฟิลล์	25
2. เปรียบเทียบระยะเวลาที่ใช้ในการเพาะเชื้อระหว่าง <u><i>Thiobacillus ferrooxidans</i></u> ที่ผ่านและไม่ผ่านการไลอฟิลล์	26
3. เปรียบเทียบระยะเวลาที่ใช้ในการเพาะเชื้อระหว่าง เชื้อที่เก็บใน Skim milk และเชื้อที่เก็บใน Sucrose	26

	หน้า
4. เปรียบเทียบระยะเวลาที่ใช้ในการเพาะเชื้อระหว่าง เชื้อชึ่งผ่านการเก็บที่อุณหภูมิ 0 และ 4 องศาเซลเซียส	31
ผลการลิขซึ่งแร่สังกะสีชัลไฟด์โดยใช้ดั้วแปรเป็นแร่สังกะสีชัลไฟด์	31
1. เปรียบเทียบผลของค่าสังกะสีละลาย จาก <u><i>Thiobacillus ferrooxidans</i></u> ที่ผ่านและไม่ผ่านการไลโอฟิล์ซ	40
2. ผลของค่าพีเอชในการลิขซึ่ง	44
3. ผลของค่า ORP ใน การลิขซึ่ง	48
4. ผลของค่า MLVSS ใน การลิขซึ่ง	48
ผลการลิขซึ่งแร่สังกะสีชัลไฟด์โดยใช้ดั้วแปรเป็นค่าพีเอช	56
1. เปรียบเทียบผลของค่าสังกะสีละลาย ของ <u><i>Thiobacillus ferrooxidans</i></u> ที่ผ่านและไม่ผ่านการไลโอฟิล์ซ	56
2. ผลของค่า ORP ใน การลิขซึ่ง	66
3. ผลของค่า MLVSS ใน การลิขซึ่ง	66
6. สรุปผลและข้อเสนอแนะ	75
ระยะเวลาที่ใช้ในการเก็บรักษาเชื้อ <u><i>Thiobacillus ferrooxidans</i></u> ที่ผ่านการไลโอฟิล์ซ	75
ความแตกต่างของการลิขซึ่ง ระหว่างเชื้อที่ไม่ผ่านและผ่านการไลโอฟิล์ซ	75
พีเอชที่เหมาะสม	75
ปริมาณแร่สังกะสีชัลไฟด์ที่เหมาะสม	75
ข้อเสนอแนะ	76
เอกสารอ้างอิง	77
ภาคผนวก	79
ประวัติผู้เขียน	120

สารบัญตาราง

	หน้า
ตารางที่ 3.1 แสดงอัตราการสกัดสังกะสีที่อุณหภูมิ 35 องศาเซลเซียส ที่ pH ต่าง ๆ	10
ตารางที่ 3.2 แสดงปริมาณการละลายสูงสุดของโลหะหนักจากสัลฟ์แอนแอโรบิก ที่ digest แล้ว	11
ตารางที่ 4.1 แสดงค่าพารามิเตอร์ที่ต้องเก็บและวิเคราะห์เบริยบเที่ยบ	24
ตารางที่ 5.1 แสดงระยะเวลาที่ใช้เพาะเชื้อที่ผ่านการไลโอฟิล์ซใน Skim milk , Sucrose และเก็บที่ 0 และ 4 องศาเซลเซียส	27
ตารางที่ 5.2 ปริมาณสังกะสีละลาย (มิลลิกรัม/ลิตร) ของการทดลองชุดที่ 1 โดย <u>Thiobacillus ferrooxidans</u> ที่ผ่านการไลโอฟิล์ซ	80
ตารางที่ 5.3 ปริมาณสังกะสีละลาย (มิลลิกรัม/ลิตร) ของการทดลองชุดที่ 3 โดย <u>Thiobacillus ferrooxidans</u>	81
ตารางที่ 5.4 ค่า pH ของการทดลองชุดที่ 1 โดย <u>Thiobacillus ferrooxidans</u> ที่ผ่านการไลโอฟิล์ซ	82
ตารางที่ 5.5 ค่า pH ของการทดลองชุดที่ 3 โดย <u>Thiobacillus ferrooxidans</u> ที่ผ่านการไลโอฟิล์ซ	83
ตารางที่ 5.6 ค่า ORP (mv) ของการทดลองชุดที่ 1 โดย <u>Thiobacillus ferrooxidans</u> ที่ผ่านการไลโอฟิล์ซ	84
ตารางที่ 5.7 ค่า ORP (mv) H ของการทดลองชุดที่ 3 โดย <u>Thiobacillus ferrooxidans</u>	85
ตารางที่ 5.8 ค่า MLVSS(mg/l) ของการทดลองชุดที่ 1 โดย <u>Thiobacillus ferrooxidans</u> ที่ผ่านการไลโอฟิล์ซ	86
ตารางที่ 5.9 ค่า MLVSS(mg/l) ของการทดลองชุดที่ 1 โดย <u>Thiobacillus ferrooxidans</u>	87
ตารางที่ 5.10 ปริมาณสังกะสีละลาย (มิลลิกรัม/ลิตร) ของการทดลองชุดที่ 2 โดย <u>Thiobacillus ferrooxidans</u> ที่ผ่านการไลโอฟิล์ซ	88
ตารางที่ 5.11 ปริมาณสังกะสีละลาย (มิลลิกรัม/ลิตร) ของการทดลองชุดที่ 4 โดย <u>Thiobacillus ferrooxidans</u>	89
ตารางที่ 5.12 ค่า ORP (mv) ของการทดลองชุดที่ 2 โดย <u>Thiobacillus ferrooxidans</u> ที่ผ่านการไลโอฟิล์ซ	90

	หน้า
ตารางที่ 5.13 ค่า ORP (mv) ของการทดลองชุดที่ 4 โดย <u>Thiobacillus ferrooxidans</u>	91
ตารางที่ 5.14 ค่า MLVSS(mg/l) ของการทดลองชุดที่ 2 โดย <u>Thiobacillus ferrooxidans</u> ที่ผ่านการไลอฟิล์ซ	92
ตารางที่ 5.15 ค่า MLVSS(mg/l) ของการทดลองชุดที่ 4 โดย <u>Thiobacillus ferrooxidans</u>	93
ตารางที่ 5.16 แสดงเปอร์เซนต์สังกะสีละลายจากปริมาณแร่ของการทดลองชุดที่ 1 โดย <u>Thiobacillus ferrooxidans</u> ที่ผ่านการไลอฟิล์ซ	94
ตารางที่ 5.17 แสดงเปอร์เซนต์สังกะสีละลายจากปริมาณแร่ของการทดลองชุดที่ 3 โดย <u>Thiobacillus ferrooxidans</u>	95
ตารางที่ 5.18 แสดงเปอร์เซนต์สังกะสีละลายจากปริมาณแร่ของการทดลองชุดที่ 2 โดย <u>Thiobacillus ferrooxidans</u> ที่ผ่านการไลอฟิล์ซ	96
ตารางที่ 5.19 แสดงเปอร์เซนต์สังกะสีละลายจากปริมาณแร่ของการทดลองชุดที่ 4 โดย <u>Thiobacillus ferrooxidans</u>	97

ศูนย์วิทยาศาสตร์
จุฬาลงกรณ์มหาวิทยาลัย

สารบัญรูป

หน้า

รูปที่ 3.1	แสดงภาพถ่ายจากกล้องจุลทรรศน์ อิเลคตรอน ของ <u><i>Thiobacillus ferrooxidans</i></u> ด้วยกำลังขยาย 15,000 เท่า	5
รูปที่ 3.2	แสดงผลของอุณหภูมิต่อกัตตราการสกัดสังกะสีที่ พีเอช 2.5	12
รูปที่ 3.3	แสดงผลของปริมาณอากาศที่มีต่อการลิขิริ่งแอดเมียโนอกจากสกัดฯ	13
รูปที่ 4.1	แสดงแร่สังกะสีซัลไฟด์ จากบริษัท ผาแดง อินดัสทรี จำกัด (มหาชน)	18
รูปที่ 4.2	แสดงขนาดต่าง ๆ ของแร่สังกะสีซัลไฟด์ ที่ผ่านการบด เพื่อได้ขนาดเป็น 80/100 เมคร	19
รูปที่ 4.3	แสดงเครื่องไฮโอดิลิร์ช ของคณะแพทยศาสตร์ มหาวิทยาลัยศรีนครินทรวิโรฒ	21
รูปที่ 4.4	แสดงหลอด ampoule ที่บรรจุ <u><i>Thiobacillus ferrooxidans</i></u> ที่ผ่านการไฮโอดิลิร์ช ด้วย Skim milk (ก) และ Sucrose (ข)	21
รูปที่ 4.5	แสดงรูป Model ที่ใช้ในการวิจัย	23
รูปที่ 5.1	แสดงระยะเวลาที่ใช้เพาะเชื้อที่ผ่านการไฮโอดิลิร์ชใน Skim milk และเก็บที่ 0 องศาเซลเซียส	28
รูปที่ 5.2	แสดงระยะเวลาที่ใช้เพาะเชื้อที่ผ่านการไฮโอดิลิร์ชใน Skim milk และเก็บที่ 4 องศาเซลเซียส	28
รูปที่ 5.3	แสดงระยะเวลาที่ใช้เพาะเชื้อที่ผ่านการไฮโอดิลิร์ชใน Sucrose และเก็บที่ 0 องศาเซลเซียส	29
รูปที่ 5.4	แสดงระยะเวลาที่ใช้เพาะเชื้อที่ผ่านการไฮโอดิลิร์ชใน Sucrose และเก็บที่ 4 องศาเซลเซียส	29
รูปที่ 5.5	แสดงระยะเวลาที่ใช้เพาะเชื้อที่ผ่านการไฮโอดิลิร์ชใน Skim milk และ Sucrose และเก็บที่ 0 และ 4 องศาเซลเซียส	30
รูปที่ 5.6	ปริมาณสังกะสีละลายน (มก./ล.) ของกราฟดลงชุดที่ 1 โดย <u><i>Thiobacillus ferrooxidans</i></u> ที่ผ่านการไฮโอดิลิร์ช	32
รูปที่ 5.7	ปริมาณสังกะสีละลายน (มก./ล.) ของกราฟดลงชุดที่ 3 โดย <u><i>Thiobacillus ferrooxidans</i></u>	33
รูปที่ 5.8	ค่า pH ของกราฟดลงชุดที่ 1 โดย <u><i>Thiobacillus ferrooxidans</i></u> ที่ผ่านการไฮโอดิลิร์ช	34

	หน้า
รูปที่ 5.9 ค่า pH ของการทดลองชุดที่ 3 โดย <u>Thiobacillus ferrooxidans</u>	35
รูปที่ 5.10 ค่า ORP (mv) ของการทดลองชุดที่ 1 โดย <u>Thiobacillus ferrooxidans</u> ที่ผ่านการไลอฟิล์ซ	36
รูปที่ 5.11 ค่า ORP (mv) ของการทดลองชุดที่ 3 โดย <u>Thiobacillus ferrooxidans</u>	37
รูปที่ 5.12 ค่า MLVSS (mg/l) ของการทดลองชุดที่ 1 โดย <u>Thiobacillus ferrooxidans</u> ที่ผ่านการไลอฟิล์ซ	38
รูปที่ 5.13 ค่า MLVSS (mg/l) ของการทดลองชุดที่ 3 โดย <u>Thiobacillus ferrooxidans</u>	39
รูปที่ 5.14 แสดงปริมาณสังกะสีละลาย ระหว่างการทดลองโดย <u>Thiobacillus ferrooxidans</u> ที่ผ่านการไลอฟิล์ซ (ชุดที่ 1) และ <u>Thiobacillus ferrooxidans</u> (ชุดที่ 3) ของ ทุกสังปฏิกรณ์	41
รูปที่ 5.15 เปรียบเทียบปริมาณสังกะสีละลาย ระหว่างการทดลองโดย <u>Thiobacillus ferrooxidans</u> ที่ผ่านการไลอฟิล์ซ (ชุดที่ 1) และ <u>Thiobacillus ferrooxidans</u> (ชุดที่ 3) เมื่อ ค่าสังกะสีละลายสูงสุดคือ 400 มก./ล. ของถังปฏิกรณ์ควบคุม	42
รูปที่ 5.16 เปรียบเทียบปริมาณสังกะสีละลาย ระหว่างการทดลองโดย <u>Thiobacillus ferrooxidans</u> ที่ผ่านการไลอฟิล์ซ (ชุดที่ 1) และ <u>Thiobacillus ferrooxidans</u> (ชุดที่ 3) เมื่อ ค่าสังกะสีละลายสูงสุดคือ 200 มก./ล	42
รูปที่ 5.17 เปรียบเทียบปริมาณสังกะสีละลาย ระหว่างการทดลองโดย <u>Thiobacillus ferrooxidans</u> ที่ผ่านการไลอฟิล์ซ (ชุดที่ 1) และ <u>Thiobacillus ferrooxidans</u> (ชุดที่ 3) เมื่อ ค่าสังกะสีละลายสูงสุดคือ 400 มก./ล	42
รูปที่ 5.18 เปรียบเทียบปริมาณสังกะสีละลาย ระหว่างการทดลองโดย <u>Thiobacillus ferrooxidans</u> ที่ผ่านการไลอฟิล์ซ (ชุดที่ 1) และ <u>Thiobacillus ferrooxidans</u> (ชุดที่ 3) เมื่อ ค่าสังกะสีละลายสูงสุดคือ 1 ก./ล	43
รูปที่ 5.19 เปรียบเทียบปริมาณสังกะสีละลาย ระหว่างการทดลองโดย <u>Thiobacillus ferrooxidans</u> ที่ผ่านการไลอฟิล์ซ (ชุดที่ 1) และ <u>Thiobacillus ferrooxidans</u> (ชุดที่ 3) เมื่อ ค่าสังกะสีละลายสูงสุดคือ 5 ก./ล	43

หน้า

รูปที่ 5.20	เปรียบเทียบปริมาณสังกะสีละลายนะหว่างการทดลองโดย <u>Thiobacillus ferrooxidans</u> ที่ผ่านการไอโอดีไซด์ (ชุดที่ 1) และ <u>Thiobacillus ferrooxidans</u> (ชุดที่ 3) เมื่อค่าสังกะสีละลายน้ำสูงสุดคือ 10 mg/l	43
รูปที่ 5.21	แสดงค่า pH ระหว่างการทดลองโดย <u>Thiobacillus ferrooxidans</u> ที่ผ่านการไอโอดีไซด์ (ชุดที่ 1) และ <u>Thiobacillus ferrooxidans</u> (ชุดที่ 3) ของทุกถังปฏิกิริยาน	45
รูปที่ 5.22	เปรียบเทียบค่า pH ระหว่างการทดลองโดย <u>Thiobacillus ferrooxidans</u> ที่ผ่านการไอโอดีไซด์ (ชุดที่ 1) และ <u>Thiobacillus ferrooxidans</u> (ชุดที่ 3) เมื่อค่าสังกะสีละลายน้ำสูงสุดคือ 400 mg/l ของทุกถังปฏิกิริยานควบคุม	46
รูปที่ 5.23	เปรียบเทียบค่า pH ระหว่างการทดลองโดย <u>Thiobacillus ferrooxidans</u> ที่ผ่านการไอโอดีไซด์ (ชุดที่ 1) และ <u>Thiobacillus ferrooxidans</u> (ชุดที่ 3) เมื่อค่าสังกะสีละลายน้ำสูงสุดคือ 200 mg/l	46
รูปที่ 5.24	เปรียบเทียบค่า pH ระหว่างการทดลองโดย <u>Thiobacillus ferrooxidans</u> ที่ผ่านการไอโอดีไซด์ (ชุดที่ 1) และ <u>Thiobacillus ferrooxidans</u> (ชุดที่ 3) เมื่อค่าสังกะสีละลายน้ำสูงสุดคือ 400 mg/l	46
รูปที่ 5.25	เปรียบเทียบค่า pH ระหว่างการทดลองโดย <u>Thiobacillus ferrooxidans</u> ที่ผ่านการไอโอดีไซด์ (ชุดที่ 1) และ <u>Thiobacillus ferrooxidans</u> (ชุดที่ 3) เมื่อค่าสังกะสีละลายน้ำสูงสุดคือ 1 mg/l	47
รูปที่ 5.26	เปรียบเทียบค่า pH ระหว่างการทดลองโดย <u>Thiobacillus ferrooxidans</u> ที่ผ่านการไอโอดีไซด์ (ชุดที่ 1) และ <u>Thiobacillus ferrooxidans</u> (ชุดที่ 3) เมื่อค่าสังกะสีละลายน้ำสูงสุดคือ 5 mg/l	47
รูปที่ 5.27	เปรียบเทียบค่า pH ระหว่างการทดลองโดย <u>Thiobacillus ferrooxidans</u> ที่ผ่านการไอโอดีไซด์ (ชุดที่ 1) และ <u>Thiobacillus ferrooxidans</u> (ชุดที่ 3) เมื่อค่าสังกะสีละลายน้ำสูงสุดคือ 10 mg/l	47
รูปที่ 5.28	แสดงค่า ORP (mv) ระหว่างการทดลองโดย <u>Thiobacillus ferrooxidans</u> ที่ผ่านการไอโอดีไซด์ (ชุดที่ 1) และ <u>Thiobacillus ferrooxidans</u> (ชุดที่ 3) ของทุกถังปฏิกิริยาน	50

หน้า

รูปที่ 5.29	เปรียบเทียบค่า ORP (mv) ระหว่างการทดลองโดย <u><i>Thiobacillus ferrooxidans</i></u> ที่ผ่านการไฮโลฟิล์ซ (ชุดที่ 1) และ <u><i>Thiobacillus ferrooxidans</i></u> (ชุดที่ 3) เมื่อค่าสัมภสีลະລາຍສูงสุดคือ 400 มก./ล.ของถังปฏิกรณ์ควบคุม	51
รูปที่ 5.30	เปรียบเทียบค่า ORP (mv) ระหว่างการทดลองโดย <u><i>Thiobacillus ferrooxidans</i></u> ที่ผ่านการไฮโลฟิล์ซ (ชุดที่ 1) และ <u><i>Thiobacillus ferrooxidans</i></u> (ชุดที่ 3) เมื่อค่าสัมภสีลະລາຍສูงสุดคือ 200 มก./ล	51
รูปที่ 5.31	เปรียบเทียบค่า ORP (mv) ระหว่างการทดลองโดย <u><i>Thiobacillus ferrooxidans</i></u> ที่ผ่านการไฮโลฟิล์ซ (ชุดที่ 1) และ <u><i>Thiobacillus ferrooxidans</i></u> (ชุดที่ 3) เมื่อค่าสัมภสีลະລາຍສูงสุดคือ 400 มก./ล	51
รูปที่ 5.32	เปรียบเทียบค่า ORP (mv) ระหว่างการทดลองโดย <u><i>Thiobacillus ferrooxidans</i></u> ที่ผ่านการไฮโลฟิล์ซ (ชุดที่ 1) และ <u><i>Thiobacillus ferrooxidans</i></u> (ชุดที่ 3) เมื่อค่าสัมภสีลະລາຍສูงสุดคือ 1 ก./ล	52
รูปที่ 5.33	เปรียบเทียบค่า ORP (mv) ระหว่างการทดลองโดย <u><i>Thiobacillus ferrooxidans</i></u> ที่ผ่านการไฮโลฟิล์ซ (ชุดที่ 1) และ <u><i>Thiobacillus ferrooxidans</i></u> (ชุดที่ 3) เมื่อค่าสัมภสีลະລາຍສูงสุดคือ 5 ก./ล	52
รูปที่ 5.34	เปรียบเทียบค่า ORP (mv) ระหว่างการทดลองโดย <u><i>Thiobacillus ferrooxidans</i></u> ที่ผ่านการไฮโลฟิล์ซ (ชุดที่ 1) และ <u><i>Thiobacillus ferrooxidans</i></u> (ชุดที่ 3) เมื่อค่าสัมภสีลະລາຍສูงสุดคือ 10 ก./ล	52
รูปที่ 5.35	แสดงค่า MLVSS ระหว่างการทดลองโดย <u><i>Thiobacillus ferrooxidans</i></u> ที่ผ่านการไฮโลฟิล์ซ (ชุดที่ 1) และ <u><i>Thiobacillus ferrooxidans</i></u> (ชุดที่ 3) ของทุกถังปฏิกรณ์	53
รูปที่ 5.36	เปรียบเทียบค่า MLVSS ระหว่างการทดลองโดย <u><i>Thiobacillus ferrooxidans</i></u> ที่ผ่านการไฮโลฟิล์ซ (ชุดที่ 1) และ <u><i>Thiobacillus ferrooxidans</i></u> (ชุดที่ 3) เมื่อค่าสัมภสีลະລາຍສูงสุดคือ 400 มก./ล.ของถังปฏิกรณ์ควบคุม	54
รูปที่ 5.37	เปรียบเทียบค่า MLVSS ระหว่างการทดลองโดย <u><i>Thiobacillus ferrooxidans</i></u> ที่ผ่านการไฮโลฟิล์ซ (ชุดที่ 1) และ <u><i>Thiobacillus ferrooxidans</i></u> (ชุดที่ 3) เมื่อค่าสัมภสีลະລາຍສูงสุดคือ 200 มก./ล	54

หน้า

รูปที่ 5.38	เปรียบเทียบค่า MLVSS ระหว่างการทดลองโดย <i>Thiobacillus ferrooxidans</i> ที่ผ่านการโลหะไวร์ (ชุดที่ 1) และ <i>Thiobacillus ferrooxidans</i> (ชุดที่ 3) เมื่อค่าสัมภสีลະลายสูงสุดคือ 400 mg/l	54
รูปที่ 5.39	เปรียบเทียบค่า MLVSS ระหว่างการทดลองโดย <i>Thiobacillus ferrooxidans</i> ที่ผ่านการโลหะไวร์ (ชุดที่ 1) และ <i>Thiobacillus ferrooxidans</i> (ชุดที่ 3) เมื่อค่าสัมภสีลະลายสูงสุดคือ 1 g/l	55
รูปที่ 5.40	เปรียบเทียบค่า MLVSS ระหว่างการทดลองโดย <i>Thiobacillus ferrooxidans</i> ที่ผ่านการโลหะไวร์ (ชุดที่ 1) และ <i>Thiobacillus ferrooxidans</i> (ชุดที่ 3) เมื่อค่าสัมภสีลະลายสูงสุดคือ 5 g/l	55
รูปที่ 5.41	เปรียบเทียบค่า MLVSS ระหว่างการทดลองโดย <i>Thiobacillus ferrooxidans</i> ที่ผ่านการโลหะไวร์ (ชุดที่ 1) และ <i>Thiobacillus ferrooxidans</i> (ชุดที่ 3) เมื่อค่าสัมภสีลະลายสูงสุดคือ 10 g/l	55
รูปที่ 5.42	ปริมาณสัมภสีลະลาย (mg/l) ของการทดลองชุดที่ 2 โดย <i>Thiobacillus ferrooxidans</i> ที่ผ่านการโลหะไวร์	57
รูปที่ 5.43	ปริมาณสัมภสีลະลาย (mg/l) ของการทดลองชุดที่ 4 โดย <i>Thiobacillus ferrooxidans</i>	58
รูปที่ 5.44	ค่า ORP (mv) ของการทดลองชุดที่ 2 โดย <i>Thiobacillus ferrooxidans</i> ที่ผ่านการโลหะไวร์	59
รูปที่ 5.45	ค่า ORP (mv) ของการทดลองชุดที่ 4 โดย <i>Thiobacillus ferrooxidans</i>	60
รูปที่ 5.46	ค่า MLVSS (mg/l) ของการทดลองชุดที่ 2 โดย <i>Thiobacillus ferrooxidans</i> ที่ผ่านการโลหะไวร์	61
รูปที่ 5.47	ค่า MLVSS (mg/l) ของการทดลองชุดที่ 4 โดย <i>Thiobacillus ferrooxidans</i>	62
รูปที่ 5.48	แสดงปริมาณสัมภสีลະลาย ระหว่างการทดลองโดย <i>Thiobacillus ferrooxidans</i> ที่ผ่านการโลหะไวร์ (ชุดที่ 2) และ <i>Thiobacillus ferrooxidans</i> (ชุดที่ 4) ของทุกถังปฏิกรณ์	63
รูปที่ 5.49	เปรียบเทียบปริมาณสัมภสีลະลาย ระหว่างการทดลองโดย <i>Thiobacillus ferrooxidans</i> ที่ผ่านการโลหะไวร์ (ชุดที่ 2) และ <i>Thiobacillus ferrooxidans</i> (ชุดที่ 4) เมื่อควบคุมค่า pH ที่ 1.5	64

หน้า

รูปที่ 5.50	เปรียบเทียบปริมาณสังกะสีละลายนะหว่างการทดลองโดย <u>Thiobacillus ferrooxidans</u> ที่ผ่านการไอโอดีไซด์ (ชุดที่ 2) และ <u>Thiobacillus ferrooxidans</u> (ชุดที่ 4) เมื่อควบคุมค่า pH ที่ 2	64
รูปที่ 5.51	เปรียบเทียบปริมาณสังกะสีละลายนะหว่างการทดลองโดย <u>Thiobacillus ferrooxidans</u> ที่ผ่านการไอโอดีไซด์ (ชุดที่ 2) และ <u>Thiobacillus ferrooxidans</u> (ชุดที่ 4) เมื่อควบคุมค่า pH ที่ 2.5	64
รูปที่ 5.52	เปรียบเทียบปริมาณสังกะสีละลายนะหว่างการทดลองโดย <u>Thiobacillus ferrooxidans</u> ที่ผ่านการไอโอดีไซด์ (ชุดที่ 2) และ <u>Thiobacillus ferrooxidans</u> (ชุดที่ 4) เมื่อควบคุมค่า pH ที่ 3	65
รูปที่ 5.53	เปรียบเทียบปริมาณสังกะสีละลายนะหว่างการทดลองโดย <u>Thiobacillus ferrooxidans</u> ที่ผ่านการไอโอดีไซด์ (ชุดที่ 2) และ <u>Thiobacillus ferrooxidans</u> (ชุดที่ 4) เมื่อควบคุมค่า pH ที่ 3.5	65
รูปที่ 5.54	เปรียบเทียบปริมาณสังกะสีละลายนะหว่างการทดลองโดย <u>Thiobacillus ferrooxidans</u> ที่ผ่านการไอโอดีไซด์ (ชุดที่ 2) และ <u>Thiobacillus ferrooxidans</u> (ชุดที่ 4) เมื่อควบคุมค่า pH ที่ 4	65
รูปที่ 5.55	แสดงค่า ORP (mv) ระหว่างการทดลองโดย <u>Thiobacillus ferrooxidans</u> ที่ผ่านการไอโอดีไซด์ (ชุดที่ 2) และ <u>Thiobacillus ferrooxidans</u> (ชุดที่ 4) ของทุกถังปฏิกิริย	68
รูปที่ 5.56	เปรียบเทียบค่า ORP (mv) ระหว่างการทดลองโดย <u>Thiobacillus ferrooxidans</u> ที่ผ่านการไอโอดีไซด์ (ชุดที่ 2) และ <u>Thiobacillus ferrooxidans</u> (ชุดที่ 4) เมื่อควบคุมค่า pH ที่ 1.5	69
รูปที่ 5.57	เปรียบเทียบค่า ORP (mv) ระหว่างการทดลองโดย <u>Thiobacillus ferrooxidans</u> ที่ผ่านการไอโอดีไซด์ (ชุดที่ 2) และ <u>Thiobacillus ferrooxidans</u> (ชุดที่ 4) เมื่อควบคุมค่า pH ที่ 2	69
รูปที่ 5.58	เปรียบเทียบค่า ORP (mv) ระหว่างการทดลองโดย <u>Thiobacillus ferrooxidans</u> ที่ผ่านการไอโอดีไซด์ (ชุดที่ 2) และ <u>Thiobacillus ferrooxidans</u> (ชุดที่ 4) เมื่อควบคุมค่า pH ที่ 2.5	69

หน้า

รูปที่ 5.59	เปรียบเทียบค่า ORP (mv) ระหว่างการทดลองโดย <u>Thiobacillus ferrooxidans</u> ที่ผ่านการไอโอดีซี (ชุดที่ 2) และ <u>Thiobacillus ferrooxidans</u> (ชุดที่ 4) เมื่อ ควบคุมค่า pH ที่ 3	70
รูปที่ 5.60	เปรียบเทียบค่า ORP (mv) ระหว่างการทดลองโดย <u>Thiobacillus ferrooxidans</u> ที่ผ่านการไอโอดีซี (ชุดที่ 2) และ <u>Thiobacillus ferrooxidans</u> (ชุดที่ 4) เมื่อ ควบคุมค่า pH ที่ 3.5	70
รูปที่ 5.61	เปรียบเทียบค่า ORP (mv) ระหว่างการทดลองโดย <u>Thiobacillus ferrooxidans</u> ที่ผ่านการไอโอดีซี (ชุดที่ 2) และ <u>Thiobacillus ferrooxidans</u> (ชุดที่ 4) เมื่อ ควบคุมค่า pH ที่ 4	70
รูปที่ 5.62	แสดงค่า MLVSS ระหว่างการทดลองโดย <u>Thiobacillus ferrooxidans</u> ที่ผ่านการไอโอดีซี (ชุดที่ 2) และ <u>Thiobacillus ferrooxidans</u> (ชุดที่ 4) ของทุกถังปฏิกรณ์	71
รูปที่ 5.63	เปรียบเทียบค่า MLVSS ระหว่างการทดลองโดย <u>Thiobacillus ferrooxidans</u> ที่ผ่านการไอโอดีซี (ชุดที่ 2) และ <u>Thiobacillus ferrooxidans</u> (ชุดที่ 4) เมื่อ ค่าควบคุมค่า pH ที่ 1.5	72
รูปที่ 5.64	เปรียบเทียบค่า MLVSS ระหว่างการทดลองโดย <u>Thiobacillus ferrooxidans</u> ที่ผ่านการไอโอดีซี (ชุดที่ 2) และ <u>Thiobacillus ferrooxidans</u> (ชุดที่ 4) เมื่อ ค่าควบคุมค่า pH ที่ 2	72
รูปที่ 5.65	เปรียบเทียบค่า MLVSS ระหว่างการทดลองโดย <u>Thiobacillus ferrooxidans</u> ที่ผ่านการไอโอดีซี (ชุดที่ 2) และ <u>Thiobacillus ferrooxidans</u> (ชุดที่ 4) เมื่อ ค่าควบคุมค่า pH ที่ 2.5	72
รูปที่ 5.66	เปรียบเทียบค่า MLVSS ระหว่างการทดลองโดย <u>Thiobacillus ferrooxidans</u> ที่ผ่านการไอโอดีซี (ชุดที่ 2) และ <u>Thiobacillus ferrooxidans</u> (ชุดที่ 4) เมื่อ ค่าควบคุมค่า pH ที่ 3	73
รูปที่ 5.67	เปรียบเทียบค่า MLVSS ระหว่างการทดลองโดย <u>Thiobacillus ferrooxidans</u> ที่ผ่านการไอโอดีซี (ชุดที่ 2) และ <u>Thiobacillus ferrooxidans</u> (ชุดที่ 4) เมื่อ ค่าควบคุมค่า pH ที่ 3.5	73

หน้า

รูปที่ 5.68	เปรียบเทียบค่า MLVSS ระหว่างการทดลองโดย <u>Thiobacillus ferrooxidans</u> ที่ผ่านการไลอฟิล์ซ (ชุดที่ 2) และ <u>Thiobacillus ferrooxidans</u> (ชุดที่ 4) เมื่อค่าคงคุณค่า pH ที่ 4	73
รูปที่ 5.69	แสดงสังกะสีชัลไฟร์ ก่อนการทดลอง (ก) และหลังทดลอง (ข)	74
รูปที่ 5.70	แสดงเบอร์เชนต์สังกะสีละลายจากปริมาณแร่ของกรดูลองชุดที่ 1 โดย <u>Thiobacillus ferrooxidans</u> ที่ผ่านการไลอฟิล์ซ	98
รูปที่ 5.71	แสดงเบอร์เชนต์สังกะสีละลายจากปริมาณแร่ของกรดูลองชุดที่ 3 โดย <u>Thiobacillus ferrooxidans</u>	98
รูปที่ 5.72	แสดงเบอร์เชนต์สังกะสีละลายจากปริมาณแร่ของกรดูลองชุดที่ 2 โดย <u>Thiobacillus ferrooxidans</u> ที่ผ่านการไลอฟิล์ซ	99
รูปที่ 5.73	แสดงเบอร์เชนต์สังกะสีละลายจากปริมาณแร่ของกรดูลองชุดที่ 4 โดย <u>Thiobacillus ferrooxidans</u>	99

ศูนย์วิทยบริพาร
จุฬาลงกรณ์มหาวิทยาลัย